НИЗКОПОРОГОВЫЙ РАСПАД ОБЫКНОВЕННОЙ СВЧ-ВОЛНЫ В ПРИСУТСТВИИ КРУПНОМАСШТАБНЫХ КОГЕРЕНТНЫХ СТРУКТУР В РАЗРЕЖЕННОЙ ПЛАЗМЕ

 $A.\ Ho.\ \Pi ono e^{a^*},\ E.\ 3.\ \Gamma y cako e^a,\ A.\ A.\ Haroeuuын <math>^a,\ J.\ B.\ Cu$ мончик $^b,\ M.\ C.\ У caч ёно к <math>^b$

^а Физико-технический институт им. А.Ф. Иоффе Российской академии наук 194021, Санкт-Петербург, Россия

^b Институт физики им. Б. И. Степанова Национальной академии наук Беларуси 220072, Минск, Республика Беларусь

Поступила в редакцию 1 апреля 2024 г., после переработки 17 июня 2024 г. Принята к публикации 17 июня 2024 г.

Исследован сценарий низкопорогового распада обыкновенной СВЧ-волны с частотой, соответствующей второй гармонике электронного циклотронного резонанса, приводящий к возбуждению двух электронных бернштейновских волн, двумерно-локализованных в крупномасштабной когерентной структуре в разреженной плазме. С использованием предложенной модели получены оценки для порога этого нелинейного явления на установках ASDEX-Upgrade и Wendelstein 7-X, а также в модельном эксперименте на линейной установке.

DOI: 10.31857/S0044451024110178

1. ВВЕДЕНИЕ

В последнее время активно ведутся исследования низкопороговых нелинейных явлений при взаимодействии электромагнитного СВЧ-излучения большой мощности с плазмой в тороидальных установках магнитного удержания. Среди них — аномальное рассеяние волны накачки со смещением частоты сигнала рассеяния вниз и вверх относительно частоты генератора (гиротрона), которое наблюдалось на различных экспериментальных установках [1–4]. На первый взгляд, экспериментальное проявление этих эффектов противоречит теоретическим результатам, поскольку, согласно устоявшимся с 1990-х годов представлениям, пороги возбуждения нелинейных явлений в неоднородной плазме (в частности, в различных сценариях параметрической распадной неустойчивости СВЧ-волны) превышают 5 МВт [5]. Это значение, обусловленное большими конвективными потерями дочерних волн из области распада, имеющей конечный размер вдоль направления неоднородности, существенно выше выходной

мощности доступных в настоящее время СВЧ-генераторов. В результате анализа сложившегося противоречия между теорией [5] и экспериментом [1–4] был достигнут значительный прогресс в понимании природы наблюдающихся явлений и сценариев их развития в неоднородной плазме [6]. Экспериментально [2] и теоретически [6] было показано, что низкопороговые нелинейные эффекты, как правило, имеют место в окрестности локальных максимумов плотности плазмы, где возможна двумерная локализация дочерних волн в полоидальном сечении установки, что делает невозможным их потери вдоль направления неоднородности плазмы из области нелинейного взаимодействия с волной накачки. Локализация имеет место в результате возбуждения для СВЧ-волн плазменного канала (волновода) вдоль тороидального направления из-за немонотонного профиля плотности и неоднородности внешнего магнитного поля [7, 8]. В экспериментах немонотонное поведение профиля плотности наблюдается как на оси разряда, так и в магнитных островах из-за особенностей переноса в этих структурах [9]. Однако случаи, когда профиль плотности плазмы может быть немонотонным, не ограничиваются приведенными примерами. Следует отметить, что в периферийной плазме современных

^{*} E-mail: a.popov@mail.ioffe.ru

тороидальных установок присутствуют вытянутые вдоль магнитных силовых линий крупномасштабные когерентные образования — филаменты или блобы, — появляющиеся в результате эволюции первичных дрейфовых волн на нелинейной стадии развития низкочастотной дрейфово-резистивной турбулентности [10]. Эти образования родственны зональным течениям [10] и стримерам [11], которые наблюдаются в лабораторной, ионосферной и космической плазме. Однако в отличие от зональных течений, приводящих к стабилизации дрейфовых неустойчивостей и тем самым ограничивающих аномальный перенос, блобы и филаменты, так же как и стримеры в плотной плазме, считаются ответственными за баллистический перенос тепла и частиц поперек магнитного поля в разреженной плазме пристеночной области тороидальных установок [12]. Как показывают измерения, выполненные разными диагностическими методами [13,14], плотность плазмы в этих структурах значительно превосходит фоновую плотность плазмы, причем ее распределение поперек блоба с разумной точностью аппроксимируется гауссовой функцией. Последнее было также подтверждено в результате гирокинетического моделирования, независимо выполненного различными научными группами [14, 15]. С существованием таких образований связывают наблюдаемый на токамаке ASDEX-Upgrade эффект аномального излучения на половинной гармонике греющего микроволнового излучения в экспериментах по нагреву плазмы при электронном циклотронном резонансе (ЭЦР). [2]. Очевидно, что подобные структуры будут присутствовать и в будущих установках реакторного масштаба. Поэтому взаимодействие мощного СВЧ-излучения с этими объектами представляет не только теоретический, как одна из важных нелинейных задач в электродинамике плазмы, но и непосредственный практический интерес. До сих пор пристальное внимание уделялось изучению эффектов аномальных СВЧ-излучения и СВЧ-поглощения волны накачки необыкновенной поляризации, которая, как правило, используется в современных установках для ЭЦР-нагреву плазмы [2,16]. В то же время в следующем десятилетии планируется использование мощных пучков (до 67 МВт) СВЧ-волн обыкновенной поляризации для дополнительного нагрева плазмы и контроля неоклассических магнитных островов в экспериментальном термоядерном реакторе ITER. В частности, с целью получения горячей плазмы большой плотности обсуждается и возможность использования нагрева обыкновенной волной на второй гармонике резонанса [17–19]. Аномальные явления при распространении волн обыкновенной поляризации до сих пор не были подробно изучены. В настоящей работе этот пробел частично восполняется исследованием сценария распада обыкновенной волны с частотой, соответствующей частоте второй гармоники ЭЦР, приводящего к возбуждению двух электронных бериштейновских (ЭБ) волн, двумерно-локализованных в блобе и соответствующих модам шепчущей галереи [20]. Отметим, что моды шепчущей галереи — резонансные стоячие волны, которые могут возбуждаться в осесимметричных системах из-за эффекта полного внутреннего отражения. Они впервые наблюдались для акустических волн и были исследованы Рэлеем в шепчущей галерее Собора святого Павла, по имени которой и получили свое название [21]. Эти нормальные моды часто встречаются не только в задачах акустики, но и в электродинамике для гигагерцевого [22] и терагерцевого [23] излучения. В частности, с их параметрическим возбуждением в модельных экспериментах связывалось аномальное поглощение СВЧ-волн на линейной установке [16].

2. ТЕОРЕТИЧЕСКАЯ МОДЕЛЬ

Рассмотрим параметрическую распадную неустойчивость обыкновенной волны в блобе или филаменте, вытянутом вдоль магнитной силовой линии и имеющем локальный максимум плотности в поперечном сечении. Вполне естественно описывать эти плазменные объекты в локальной цилиндрической системе координат (r, θ, z) , предполагая, что ее начало расположено на оси филамента. Следуя результатам измерений и численных расчетов [13–15], представим плотность плазмы как сумму фоновой плотности n и плотности в блобе

$$\delta n = \delta n_0 \exp\left(-r^2/r_b^2\right),$$

где δn_0 и r_b — высота и радиус блоба. Поскольку масштабы, характерные для профилей фоновой плазмы, намного больше радиуса филамента, что было экспериментально подтверждено в работах [13–15], далее мы будем игнорировать любую пространственную зависимость, кроме неоднородности этого филамента. Будем предполагать, что временная вариация распределения плотности в блобе пренебрежимо мала, по крайней мере, за время перехода рассматриваемой неустойчивости в режим насыщения. Рассмотрим пучок плоских СВЧволн обыкновенной поляризации мощностью P_0 , который имеет частоту ω_0 и распространяется на краю

плазмы поперек магнитного поля внутрь разряда. В ВКБ-приближении поле обыкновенной волны накачки в блобе, расположенном в окрестности точки с координатой x_b , можно представить в виде

$$\mathbf{E}_{0} = \mathbf{e}_{z} \frac{E_{0}(y, z)}{2} \sqrt{\frac{\omega_{0}}{ck_{x}(x_{b})}} \times \exp\left(ik_{x}(x_{b})(x - x_{b}) - i\omega_{0}t\right), \quad (1)$$

где x и z — локальные декартовы координаты вдоль потоковой переменной и магнитного поля соответственно, y — координата, перпендикулярная им обеим. В выражении (1)

$$k_x = \omega_0 \sqrt{\eta(\omega_0)}/c,$$

где

$$\eta = 1 - \omega_{pe}^2/\omega_0^2$$

— параллельная компонента диэлектрического тензора холодной плазмы [24], а ω_{pe} — электронная ленгмюровская частота. Кроме того, будем считать, что ширина пучка поперек магнитного поля много больше размера блоба, $w_{y,z} \gg r_b$. В этом случае мы можем представить (1) в следующем виде:

$$\mathbf{E}_{0} = \mathbf{e}_{z} \frac{E_{0}(0, z)}{2} \sqrt{\frac{\omega_{0}}{ck_{x}(x_{b})}} \times \times \sum_{s=-\infty}^{\infty} J_{s}(k_{x}(x_{b})) \exp(is\theta - i\omega_{0}t), \quad (2)$$

где J_s — функция Бесселя.

Далее мы проанализируем распад электромагнитной волны на две ЭБ-волны, групповые скорости которых противоположно направлены и частоты примерно равны половине частоты волны накачки:

$$\omega_{1,2} \simeq \omega_0/2 \leqslant \omega_{UH}$$
,

где

$$\omega_{\mathit{UH}} = \sqrt{\omega_{\mathit{ce}}^2 + \omega_{\mathit{pe}}^2}$$

— верхнегибридная частота, ω_{ce} — электронная циклотронная частота. Волновые числа ЭБ-волн являются решениями локальных дисперсионных уравнений

$$D_{l}(\mathbf{q},\omega) = D'_{l}(\mathbf{q},\omega) + iD''_{l}(\mathbf{q},\omega) =$$

$$= q^{2} + \chi(\mathbf{q},\omega) + \frac{\omega^{2}}{c^{2}}g^{2}, \quad (3)$$

которые учитывают резонансную и столкновительную диссипацию. Член g^2 в уравнении (3) описывает малую электромагнитную компоненту волны в окрестности верхнего гибридного резонанса (ВГР),

g — недиагональный элемент диэлектрического тензора холодной плазмы [24]. Линейная восприимчивость плазмы задается известным уравнением [24]

$$\begin{split} \chi &= \frac{2\omega_{pe}^2}{\upsilon_{te}^2} \Bigg(1 + \frac{\omega}{|q_z|} \sum_{m=-\infty}^{\infty} Z \bigg(\frac{\omega - m\omega_{ce}}{q_z \upsilon_{te}} \bigg) \times \\ &\times \exp\bigg(- \frac{q_\perp^2 \upsilon_{te}^2}{2\omega_{ce}^2} \bigg) I_m \bigg(\frac{q_\perp^2 \upsilon_{te}^2}{2\omega_{ce}^2} \bigg) \Bigg), \end{split}$$

где Z — плазменная дисперсионная функция, v_{te} — тепловая скорость электронов, I_m — модифицированная функция Бесселя. Параметрический распад волны накачки в осесимметричной плазме блоба может привести к возбуждению пары ЭБ-мод шепчущей галереи [20], движущихся в противоположных направлениях вдоль азимутальной координаты. Основной набор связанных уравнений для потенциалов дочерних волн, описывающих трехволновое взаимодействие при фиксированной амплитуде волны накачки, имеет вид [6]

$$\hat{D}_{l}\phi_{1} + \hat{D}_{nl}\phi_{2} = 0,
\hat{D}_{nl}\phi_{1} + \hat{D}_{l}\phi_{2} = 0,$$
(4)

где интегральные операторы имеют вид

$$\hat{D}_{l,nl}f(\mathbf{r},t) =$$

$$= \int \frac{d\omega \, dt' \, d\mathbf{q} \, d\mathbf{r}'}{(2\pi)^4} \, D_{l,nl}\left(\omega, \mathbf{q}, \frac{\mathbf{r} + \mathbf{r}'}{2}\right) \times$$

$$\times \exp[i\mathbf{q} \cdot (\mathbf{r} - \mathbf{r}') - i\omega(t - t')] \, f(\mathbf{r}', t'). \quad (5)$$

В уравнении (5) ядро линейного оператора определено в уравнении (3), а ядро нелинейного оператора равно [25]

$$D_{nl} = \frac{16\omega_{pe}^{2}\omega_{ce}}{\omega_{0}(\omega_{0}^{2} - 4\omega_{ce}^{2})} \left(iq_{z}q_{r} - q_{z}q_{\theta}\frac{\omega_{ce}}{\omega_{0}} \right) \frac{E_{0}}{\bar{B}} \times \sqrt{\frac{\omega_{0}}{ck_{x}(x_{b})}} \sum_{s=-\infty}^{\infty} J_{s}(k_{x}(x_{b})) \exp(is\theta - i\omega_{0}t), \quad (6)$$

где \bar{B} — локальное значение вектора индукции внешнего магнитного поля. При решении системы уравнений (4) воспользуемся процедурой теории возмущений. На первом шаге мы предположим, что затухание дочерних волн и нелинейная накачка слабые, и положим в уравнениях (4) $D_l''=0$, $D_{nl}=0$. Это сводит систему связанных уравнений к двум

независимым линейным уравнениям $\hat{D}_l \phi_{1,2} = 0$, решение каждого из которых будем искать в виде

$$\phi_{1} = a_{1}\varphi_{p}(r) \times \times \exp\left(im\theta + iq_{z}^{p,n}z + i\left(\frac{\omega_{0}}{2} - \delta\omega^{p,n}\right)t\right),$$

$$\phi_{2} = a_{2}\varphi_{n}(r) \times \times \exp\left(im\theta + iq_{z}^{p,n}z - i\left(\frac{\omega_{0}}{2} + \delta\omega^{p,n}\right)t\right),$$
(7)

предполагая номер азимутальный моды обеих волн большим, $m\gg 1$. В этом случае поле ЭБ-волны будет вытеснено из приосевой части блоба к области ВГР. Оно локализуется вблизи точки r_m , где выполнено условие

$$\partial D_l'/\partial r|_0 = \partial D_l'/\partial r|_{m,q_r} = 0,$$

$$q_{\theta} = m/r$$
, $q_{\perp}^2 = q_{\theta}^2 + q_r^2$, $q_z = 0$, $\omega_{1,2} = \omega_0/2$.

ЭБ-волна при этом представляет собой моду шепчущей галереи, описываемую собственными функциями φ_p и φ_n , подчиняющимися редуцированному дифференциальному уравнению [16]

$$\left(\left| \frac{\partial D_l'}{\partial q_\perp} \right|_0 \frac{r_m}{2m} \frac{\partial^2}{\partial r^2} - \left| \frac{\partial^2 D_l'}{\partial q_z^2} \right|_0 \frac{(q_z^{p,n})^2}{2} \pm \left| \frac{\partial D_l'}{\partial \omega} \right|_0 \delta \omega^{p,n} + \right. \\
+ \left. D_l' \right|_0 - \left| \frac{\partial^2 D_l'}{\partial r^2} \right|_0 \frac{(r - r_m)^2}{2} \right) \varphi_{p,n}(r) = 0. \quad (8)$$

Собственные значения $\delta\omega^{p,n}$ и $q_z^{p,n}$ определяются в результате поиска локализованных решений уравнения (8) и имеют вид

$$\delta\omega^{p,n} = \left(p-n\right) \left| \frac{\partial^2 D_l'}{2\partial r^2} \right|_0^{1/2} \left| \frac{\partial D_l'}{2\partial q_\perp} \right|_0^{1/2} \sqrt{\frac{r_m}{m}} \left| \frac{\partial D_l'}{\partial \omega} \right|_0^{-1},$$

$$q_z^{p,n} = \left| \frac{\partial^2 D_l'}{2\partial q_z^2} \right|_0^{-1/2} \times \left(D_l' \right|_0 - (p+n+1) \left| \frac{\partial^2 D_l'}{2\partial r^2} \right|_0^{1/2} \left| \frac{\partial D_l'}{2\partial q_\perp} \right|_0^{1/2} \sqrt{\frac{r_m}{m}} \right)^{1/2}.$$

$$(9)$$

На следующем этапе процедуры теории возмущений мы учтем затухание дочерних волн и их нелинейное возбуждение, приводящее к изменению амплитуд $a_{1,2}$ во времени и вдоль магнитного поля. Умножая обе стороны уравнений (3) на комплексносопряженные собственные функции нулевого порядка φ_p и φ_n , являющиеся решением уравнения (8), и

выполняя интегрирование по поперечным координатам, получим

$$\left(\frac{\partial}{\partial t} - U_p \frac{\partial}{\partial z} + \nu_{pd}\right) a_1 = i\nu_0(z) a_2,
\left(\frac{\partial}{\partial t} + U_n \frac{\partial}{\partial z} + \nu_{nd}\right) a_2 = -i\nu_0^*(z) a_1,$$
(10)

где $U_p\simeq U_n=U$ — продольные групповые скорости, усредненные по области радиальной локализации соответствующих близких радиальных мод $|p-n|/p\ll 1$ дочерних волн, $\nu_{pd}\simeq \nu_{nd}=\nu_d$ и ν_0 — коэффициенты, описывающие линейное затухание и неоднородную нелинейную накачку. Далее, для аналитического рассмотрения будем использовать модель кусочно-заданного распределения поля СВЧ-волны вдоль координаты z:

$$\nu_0(z) = 0, \qquad z < -w_z/2,$$

$$\nu_0(z) = \nu_0, \qquad -w_z/2 \leqslant z \leqslant w_z/2, \qquad (11)$$

$$\nu_0(z) = 0, \qquad w_z/2 < z.$$

Экспоненциально растущее во времени решение системы уравнений, $a_{1,2} \propto \exp{(\gamma t)}$, которое ведет себя непрерывно при $z=\pm w_z/2$ и экспоненциально убывает на бесконечности $z\to\pm\infty$, имеет инкремент

$$\gamma = \nu_0 - U/w_z - \nu_d, \tag{12}$$

а порог определяется балансом накачки и потерь:

$$\nu_0(P_0^{th}) = U/w_z + \nu_d.$$

3. ПОРОГ НЕУСТОЙЧИВОСТИ В РАЗЛИЧНЫХ ЭКСПЕРИМЕНТАЛЬНЫХ УСТАНОВКАХ

Проиллюстрируем предложенную модель на примере двух тороидальных установок магнитного удержания плазмы. На рис. 1 для условий токамака ASDEX-Upgrade (частота волны накачки $f_0=140\,\Gamma\Gamma\mathrm{L}$) [13] показана траектория ЭБ-волны (соответствует азимутальной моде m=112, радиальной моде $n=6,\,f_{m,n}=70.41\,\Gamma\mathrm{L}$) в перпендикулярном сечении блоба, которая получена с помощью процедуры трассировки лучей, применяемой в приближении геометрической оптики [26], т. е. вычисления траектории потока мощности электромагнитных воли через неоднородную замагниченную плазму с учетом ее реальной геометрии. Штрихпунктиром показано положение границы

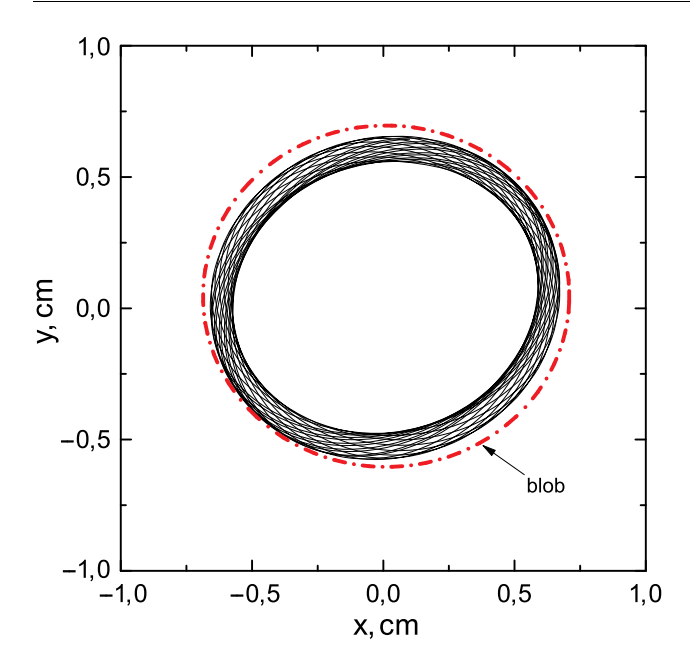


Рис. 1. Траектория ЭБ-волны (азимутальная мода m=112, радиальная мода n=6, $f_{m,n}=70.41\,\Gamma\Gamma$ ц) в перпендикулярном сечении блоба для условий токамака ASDEX-Upgrade [13]. Штрихпунктир — положение границы блоба

блоба $(r_b=0.6\,\mathrm{cm})$. Видно, что огибающая траектории волны не является идеально круглой, что вызвано влиянием неоднородного магнитного поля.

На рис. 2 для условий стелларатора Wendelstein 7-X (частота волны накачки $f_0=140\,\Gamma\Gamma$ ц) [14] по-казана траектория ЭБ-волны (соответствует азимутальной моде m=113, радиальной моде n=5, $f_{m,n}=70.24\,\Gamma\Gamma$ ц) в перпендикулярном сечении блоба, также вычисленная с помощью процедуры трассировки лучей. Как и на рис. 1, штрихпунктиром показано положение границы блоба ($r_b=0.6\,\mathrm{cm}$). Траектории ЭБ-волн на рис. 1 и 2 демонстрируют, что в обоих случаях эти волны не покидают область распада и отвечают нормальной (шепчущей) моде — стоячей волне, локализованной в узкой области на периферии блоба.

На рис. 3 показана зависимость инкремента распадной неустойчивости от мощности. Теоретические зависимости, вычисленные согласно уравнению (12) для модельного прямоугольного распределения поля (11) размером $w_z=2\,\mathrm{cm}$, показаны линиями. Символы — результат численного решения для гауссова распределения поля в пучке шириной $w_y=w_z=2\,\mathrm{cm}$. Сплошная линия и кружки — случай ASDEX-Upgrade для параметров эксперимента, указанных в работе [18]. Пороговое значение, согласно аналитической модели (11), (12), равно $P_0^{th}=297\,\mathrm{kBr}$, а полученное в результате числен-

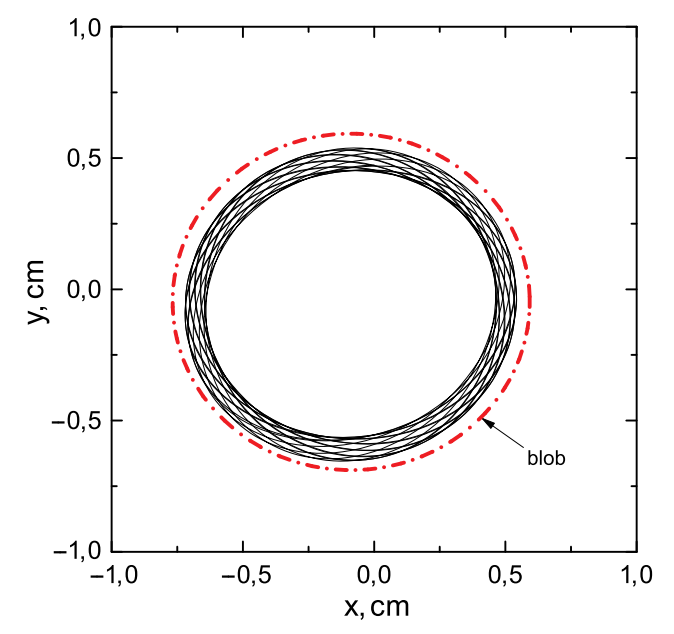


Рис. 2. Траектория ЭБ-волны (азимутальная мода m=113, радиальная мода n=5, $f_{m,n}=70.24\,\Gamma\Gamma$ ц) в перпендикулярном сечении блоба для условий стелларатора Wendelstein 7-X [14]. Штрихпунктир — положение границы блоба

ного решения системы (9) для гауссова пучка накачки с тем же радиусом — $P_0^{th}=282\,\mathrm{kBt}$. Штриховая линия и ромбы — случай Wendelstein 7-X для параметров эксперимента, указанных в работе [19]. Пороговое значение, согласно аналитической модели, равно $P_0^{th}=285\,\mathrm{kBt}$. Значение порога, полученное в результате расчета, — $P_0^{th}=243\,\mathrm{kBt}$. Различие значений порога связано с модельным представлением о распределении поля (11), которое использовалось при выводе выражения (12). При мощности СВЧ-волны, существенно превышающей пороговое значение, зависимости инкремента от мощности, полученные аналитически и численно, асимптотически сближаются.

Отметим также, что предсказания развитой теории могут быть проверены в модельном эксперименте на линейной установки «Гранит» [16], где плазменный столб создается ВЧ-разрядом в длинной стеклянной трубке с внутренним диаметром $2a=22\,\mathrm{mm}$, ориентированной в направлении магнитного поля и заполненной аргоном (под давлением около $10\,\mathrm{дин/cm^2}$). Магнитное поле, создаваемое внешним электромагнитом, может изменяться от 0 до $450\,\mathrm{\Gamma c}$. Усредненная по объему плотность плазмы составляет около $10^{10}\,\mathrm{cm^{-3}}$ и при полной вариации магнитного поля изменяется на $15-20\,\%$. Стеклянная трубка проходит через отверстие, сделанное в широкой стенке волновода $(42\times34\,\mathrm{mm^2})$ парал-

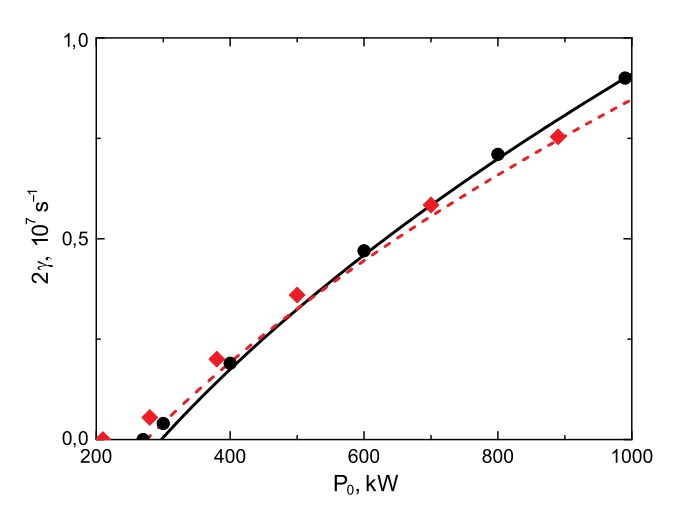


Рис. 3. Зависимость инкремента от мощности. Теоретические зависимости (12) для модельного распределения поля (11) показаны линиями. Результат численного решения (10) для гауссова пучка — символы. Сплошная линия и кружки — случай ASDEX-Upgrade [18]. Штриховая линия и ромбы — Wendelstein 7-X [19]. $w_{y,z}=2\,\mathrm{cm}$

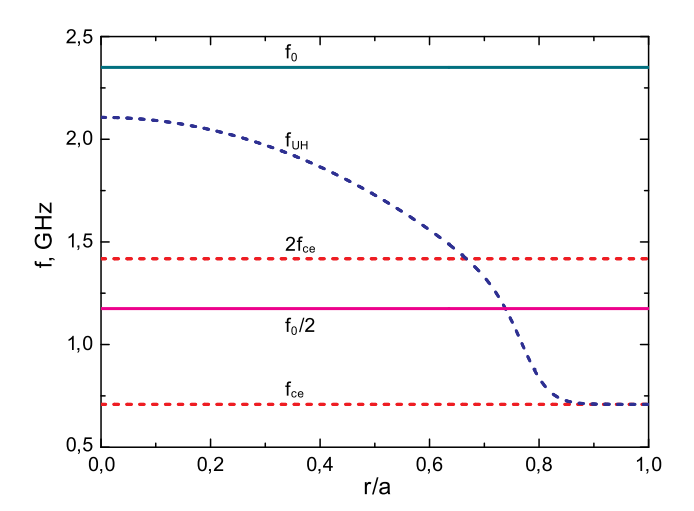


Рис. 4. Частоты ЭЦР, второй гармоники ЭЦР, ВГР, волны накачки и дочерней волны в модельном эксперименте

лельно узкой стенке. СВЧ-импульсы (мощностью до $210\,\mathrm{Bt}$) в форме обыкновенных волн подаются на плазму вдоль волновода. На рис. 4 показаны частоты ЭЦР, второй гармоники ЭЦР, ВГР, а также частоты волны накачки и дочерней волны. Поскольку частота запускаемых волн $f_0=2.35\,\Gamma\Gamma$ ц больше частоты второй гармоники ЭЦР, $2f_{ce}$, в объеме плазмы отсутствуют эффективные линейные механизмы поглощения накачки и имеется только столкновительный механизм, который в условиях эксперимента является слабым. На рис. 5 показана радиальная компонента волнового вектора дочерней ЭБ-волны (полоидальная мода m=22, продольный коэффициент преломления $n_z=0.9,\,T_e=1\,\mathrm{эB}$). На рис. 6

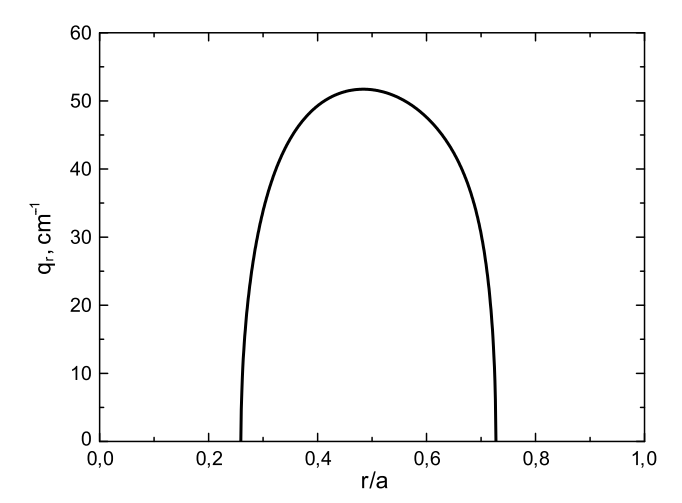


Рис. 5. Радиальная компонента волнового вектора ${\sf ЭБ}$ -волны в модельном эксперименте, $m=22,\,n_z=0.9,\,T_e=1\,{\sf эB}$

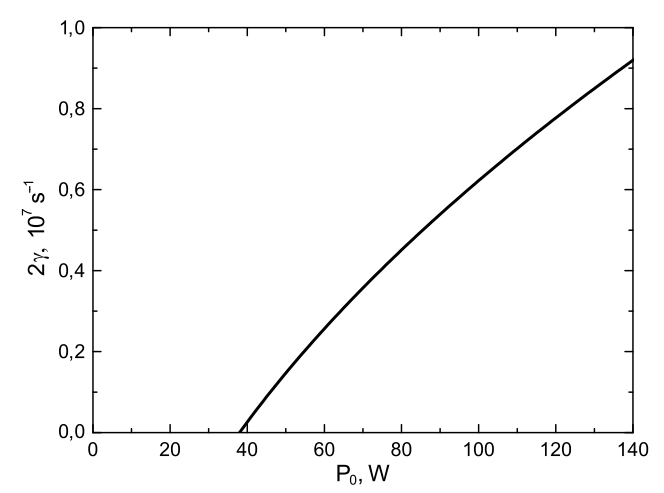


Рис. 6. Зависимость инкремента от мощности в модельном эксперименте. Линия — выражение (12), $P_0^{th}=39\,\mathrm{BT}$

приведена зависимость (12) инкремента возбуждаемой неустойчивости двухплазмонного распада от мощности при частоте электрон-атомных столкновений $\nu_{ea}=5\cdot 10^6\,\mathrm{c}^{-1}$. Оценка для порога неустойчивости в этом случае $P_0^{th}=39\,\mathrm{Bt}$. Предсказанный порог неустойчивости (около 40 Вт) существенно ниже технически доступной мощности СВЧ-импульсов, что позволяет подробно исследовать это нелинейное явление. В частности, приведенные оценки показывают возможность провести детальное исследование линейной стадии неустойчивости и ее переход в режим насыщения. Последнее позволит изучить эффективность аномального поглощения обыкновенной волны.

4. ВЫВОДЫ

Впервые исследован сценарий низкопорогового распада обыкновенной волны с частотой, соответствующей второй гармонике ЭЦР в плазменном объеме, приводящий к возбуждению двух ЭБ-волн, двумерно-локализованных в блобе (филаменте) на периферии плазмы. Получены выражения для инкремента и порога этой неустойчивости. С помощью уравнения (12) для условий установок ASDEX-Upgrade и Wendelstein 7-X найдены значения порогов. Их значения существенно ниже мощности мегаваттных СВЧ-пучков, используемых для нагрева в этих установках. На примере линейной установки «Гранит» показано, что этот эффект может быть исследован в модельных экспериментах, оперирующих с СВЧ-мощностями до 200 Вт. Это открывает возможность подробного изучения этого нелинейного явления, включая оценку эффективности аномального поглощения обыкновенной волны.

Финансирование. Результаты исследования неустойчивости в условиях модельного эксперимента получены в рамках Договора № 23-РБ-02-06 и проекта БРФФИ Ф24СПбГ-005. Результаты исследования неустойчивости в условиях экспериментов на установках ASDEX-Upgrade и Wendelstein 7-X получены при поддержке Российского научного фонда (грант № 22-12-00010), а численные расчеты выполнены при поддержке государственного контракта ФТИ им. А. Ф. Иоффе (FFUG-2024-0028).

ЛИТЕРАТУРА

- E. Westerhof, S. K. Nielsen, J. W. Oosterbeek et al., Plasma Phys. Control. Fusion 55, 115003 (2013).
- S. K. Hansen, S. K. Nielsen, J. Stober et al., Nucl. Fusion 60, 106008 (2020).
- **3**. A. Tancetti, S. K. Nielsen, J. Rasmussen et al., Nucl. Fusion **62**, 074003 (2022).
- A. Clod, M. G. Senstius, A. H. Nielsen et al., Phys. Rev. Lett. 132, 135101 (2024).
- B. I. Cohen, R. H. Cohen, W. M. C. Nevins, and T. D. Rognlien, Rev. Mod. Phys. 63, 949 (1991).
- **6**. Е. З. Гусаков, А. Ю. Попов, УФН **190**, 396 (2020).
- E. Z. Gusakov and A. Yu. Popov, Plasma Phys. Control. Fusion 63, 125017 (2021).

- 8. Е.З. Гусаков, А.Ю. Попов, Физика плазмы **49**, 740 (2023).
- 9. M. Yu. Kantor, A. J. H. Donne, R. Jaspers et al., Plasma Phys. Control. Fusion 51, 055002 (2009).
- P.H. Diamond, S.-I. Itoh, K. Itoh, and T. S. Hahm, Plasma Phys. Control. Fusion 47, R35 (2005).
- O. D. Gurcan and P. H. Diamond, Phys. Plasmas 11, 572 (2004).
- 12. S. I. Krasheninnikov, Phys. Lett. A 283, 368 (2001).
- **13**. B. Nold, G. D. Conway, T. Happel et al., Plasma Phys. Control. Fusion **52**, 065005 (2010).
- **14.** C. Killer, B. Shanahan, O. Grulke et al., Plasma Phys. Control. Fusion **62**, 085003 (2020).
- J. Cheng, J. Q. Dong, L. W. Yan et al., Nucl. Fusion 53, 093008 (2013).
- A. B. Altukhov, V. I. Arkhipenko, A. D. Gurchenko et al., Europhys. Lett. 126, 15002 (2019).
- H. Hohnle, J. Stober, A. Herrmann et al., Nucl. Fusion 51, 083013 (2011).
- 18. M. Schubert, B. Plaum, S. Vorbrugg et al., in *Proc. 43rd EPS Conf. on Plasma Physics*, Leuven, Belgium, 4–8 July (2016), Vol. 40A, P1.026.
- T. Klinger, T. Andreeva, S. Bozhenkov et al., Nucl. Fusion 59, 112004 (2019).
- 20. K. G. Budden and H. G. Martin, The Ionosphere as a Whispering Gallery, Proc. Roy. Soc. London, Series A. Mathem. Phys. Sci. The Royal Society 265 (1323), 554 (1962).
- Дж. Стрэтт (лорд Рэлей), Теория звука, Гостехиздат, Москва (1955).
- **22**. P. L. Stanwix, M. E. Tobar, P. Wolf et al., Phys. Rev. Lett. **95**, 040404 (2005).
- **23**. R. Mendis and M. Mittleman, Appl. Phys. Lett. **97**, 031106 (2010).
- **24**. D. G. Swanson, *Plasma Waves*, 2nd ed., CRC Press (2003).
- **25**. А. Ю. Попов, Физика плазмы **48**, 27 (2022).
- 26. А. Бернштейн, Л. Фридленд, в сб. Основы физики плазмы, т. 1. под ред. М. Н. Розенблюта и Р. З. Сагдеева, Энергоатомиздат, Москва (1983), с. 393.